

ПОЛЫЙ ШАР ИЗ ХАОСТИЧЕСКИ АРМИРОВАННОГО  
МАТЕРИАЛА ПОД ДЕЙСТВИЕМ ВНУТРЕННЕГО ДАВЛЕНИЯ

И. Д. Рогозин

(Красноярск)

Рассматривается полый шар из упругого связующего материала малой жесткости, хаотически армированного отрезками «волокон» из материала более высокой жесткости. В качестве связующего может выступать, например, полимерный материал. Такое армирование позволяет получить материал с улучшенными свойствами, причем в целом материал получается квазиизотропным [1]. Получено распределение напряжений в полом шаре.

Пусть композитная среда состоит из упругого связующего материала и арматуры в виде отрезков круговых цилиндрических волокон. Предполагаем, что диаметр волокон  $d$  значительно меньше их длины  $l$  ( $d \ll l$ ). Введем, следуя [2], в качестве исходных следующие гипотезы.

1. Пусть отрезки волокон распределены в связующем материале равномерно по всем направлениям. Макрообъем  $\omega$  ( $\omega \ll V$ ;  $V$  — объем тела) отождествим с материальной точкой. Число отрезков волокон в рассматриваемом объеме  $\omega$  достаточно велико. В каждом волокне осуществляется одноосное напряженное состояние. Будем рассматривать армированный материал как макроскопически однородную среду. Компоненты тензоров напряжений и деформаций в декартовой прямоугольной системе координат  $x_1, x_2, x_3$  обозначим соответственно  $\sigma_{ij}, \varepsilon_{ij}$  ( $i, j = 1, 2, 3$ ).

2. Предполагаем, что связующий материал деформируется упруго. Обозначим постоянные Ламе связующего через  $\lambda_c, \mu_c$ .

3. Зависимость между напряжениями и деформациями в арматуре является нелинейной и задается уравнением  $\sigma_{nn} = F(\varepsilon_{nn})$ , где  $\varepsilon_{nn}$  — осевая деформация волокна;  $\sigma_{nn}$  — осевое напряжение.

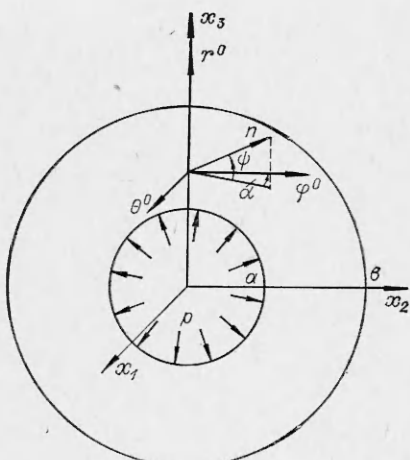
Пусть  $\Omega$  — полусфера, образованная единичными векторами  $n$ , направленными вдоль осей волокон. Относительный объем волокон, у которых вектор  $n$  находится внутри телесного угла  $d\Omega$ , пропорционален  $d\Omega$ , в  $2\pi$  раз меньше, чем объем всех волокон. Обозначим через  $n_1, n_2, n_3$  направляющие косинусы вектора  $n$  в системе координат  $x_1, x_2, x_3$ ; через  $\eta$  — коэффициент объемного содержания арматуры в материале. Полагая деформации однородными и принимая гипотезу об объемном вкладе компонентов в общее напряженное состояние, получим следующие соотношения между напряжениями и деформациями:

$$(1) \quad \sigma_{ij} = (1 - \eta)(\lambda_c \varepsilon \delta_{ij} + 2\mu_c \varepsilon_{ij}) + \frac{\eta}{2\pi} \int \int \int F(\varepsilon_{nn}) n_i n_j d\Omega.$$

Здесь  $\varepsilon = \varepsilon_1 + \varepsilon_2 + \varepsilon_3$ ;  $\varepsilon_{nn} = \varepsilon_{ij} n_i n_j$ ; ( $i, j = 1, 2, 3$ ).

Рассмотрим случай, когда функция  $F$  имеет вид

$$(2) \quad F(\varepsilon_{nn}) = \begin{cases} E \varepsilon_{nn} & \text{при } \varepsilon_c < \varepsilon_{nn} < \varepsilon_p; \\ 0 & \text{при } \varepsilon_{nn} \leq \varepsilon_c \text{ или } \varepsilon_p \leq \varepsilon_{nn}, \end{cases}$$



Фиг. 1

т. е. волокна деформируются по закону Гука при растяжении до деформации  $\varepsilon_p$  и при сжатии до деформации  $\varepsilon_c$ . Достижение этих предельных деформаций приводит к хрупкому разрушению волокна.  $E$  — модуль Юнга арматуры.

Предположим, что арматура работает упруго, т. е. разрушения волокон еще не происходило. Учитывая зависимость  $F(\varepsilon_{nn}) = E\varepsilon_{nn}$ , из (1) получим упругую связь (закон Гука) между тензорами напряжений и деформаций. Коэффициенты Ламе композитного материала  $\lambda_k$  и  $\mu_k$  будут равны в этом случае

$$\lambda_k = (1 - \eta) \lambda_c + 1/15 \eta E;$$

$$\mu_k = (1 - \eta) \mu_c + 1/15 \eta E.$$

Решать задачу удобнее в сферической системе координат  $r, \theta, \varphi$ . Ввиду симметрии достаточно рассмотреть задачу для одного фиксированного луча, направленного вдоль радиуса шара, например вдоль оси  $x_3$ . Направим орты  $r^0, \theta^0, \varphi^0$  сферической системы координат параллельно осям  $0x_3, 0x_1, 0x_2$  соответственно. Перепишем уравнения (1) в этой системе координат, вводя углы  $\alpha$  и  $\psi$  (фиг. 1), которые задают направление вектора  $n$ . Опустим при этом индексы у  $\lambda_c$  и  $\mu_c$ .

$$(3) \quad \sigma_r = (1 - \eta)(\lambda\varepsilon + 2\mu\varepsilon_r) + \eta \int_0^{\pi/2} F(\varepsilon_{nn}) \sin^2 \psi \cos \psi d\psi;$$

$$\sigma_\theta = (1 - \eta)(\lambda\varepsilon + 2\mu\varepsilon_\theta) + \frac{\eta}{2\pi} \int_\Omega F(\varepsilon_{nn}) \sin^2 \alpha \cos^2 \psi d\Omega;$$

$$\sigma_\psi = (1 - \eta)(\lambda\varepsilon + 2\mu\varepsilon_\psi) + \frac{\eta}{2\pi} \int_\Omega \int F(\varepsilon_{nn}) \cos^2 \alpha \cos^2 \psi d\Omega.$$

Вследствие симметрии задачи  $\varepsilon_\theta = \varepsilon_\psi$ ,  $\sigma_\theta = \sigma_\psi$ , а компоненты с разными индексами равны нулю [3]. Осевая деформация волокна

$$\varepsilon_{nn} = \varepsilon_r \sin^2 \psi + \varepsilon_\theta \cos^2 \psi \sin^2 \alpha + \varepsilon_\psi \cos^2 \psi \cos^2 \alpha.$$

Так как  $\varepsilon_\theta = \varepsilon_\psi$ , то можно записать

$$(4) \quad \varepsilon_{nn} = \varepsilon_r \sin^2 \psi + \varepsilon_\theta \cos^2 \psi.$$

Следовательно,  $\varepsilon_{nn}$  не зависит от угла  $\alpha$ . Для суммы  $\sigma_\theta + \sigma_\psi$  также исчезает зависимость от  $\alpha$ :

$$(5) \quad \sigma_\theta + \sigma_\psi = 2(1 - \eta)[\lambda\varepsilon + \mu(\varepsilon_\theta + \varepsilon_\psi)] + \eta \int_0^{\pi/2} F(\varepsilon_{nn}) \cos^3 \psi d\psi.$$

Учитывая (2), перепишем (3), (5) в следующем виде:

$$(6) \quad \sigma_r = (1 - \eta)(\lambda \varepsilon + 2\mu \varepsilon_r) + \eta \int_{\gamma}^{\delta} E \varepsilon_{nn} \sin^2 \psi \cos \psi d\psi;$$

$$\sigma_{\theta} + \sigma_{\varphi} = 2(1 - \eta)[\lambda \varepsilon + \mu(\varepsilon_{\theta} + \varepsilon_{\varphi})] + \eta \int_{\gamma}^{\delta} E \varepsilon_{nn} \cos^3 \psi d\psi.$$

Углы  $\gamma$  и  $\delta$  определяются из соотношений

$$\varepsilon_{\gamma} \equiv \varepsilon_r \sin^2 \gamma + \varepsilon_{\theta} \cos^2 \gamma = \varepsilon_p;$$

$$\varepsilon_{\delta} \equiv \varepsilon_r \sin^2 \delta + \varepsilon_{\theta} \cos^2 \delta = \varepsilon_c.$$

Отсюда получаем

$$\sin^2 \gamma = (\varepsilon_p - \varepsilon_{\theta}) / (\varepsilon_r - \varepsilon_{\theta});$$

$$\sin^2 \delta = (\varepsilon_{\theta} - \varepsilon_c) / (\varepsilon_r - \varepsilon_{\theta}).$$

Следовательно,

$$\gamma = \begin{cases} 0 & \text{при } \varepsilon_{\gamma} < \varepsilon_p; \\ \arcsin [(\varepsilon_p - \varepsilon_{\theta}) / (\varepsilon_r - \varepsilon_{\theta})]^{1/2} & \text{при } \varepsilon_{\gamma} = \varepsilon_p; \end{cases}$$

$$\delta = \begin{cases} \pi/2 & \text{при } \varepsilon_{\delta} > \varepsilon_c; \\ \arcsin [(\varepsilon_{\theta} - \varepsilon_c) / (\varepsilon_r - \varepsilon_{\theta})]^{1/2} & \text{при } \varepsilon_{\delta} = \varepsilon_c. \end{cases}$$

Интегрируя (6) по  $\psi$  с учетом (4), получим

$$(7) \quad \sigma_r = (w + g)\varepsilon_r + (v + c)\varepsilon_{\theta};$$

$$\sigma_{\theta} + \sigma_{\varphi} = (v + c)\varepsilon_r + (2w + v + t)\varepsilon_{\theta},$$

где

$$v = 2(1 - \eta)\lambda; \quad w = (1 - \eta)(\lambda + 2\mu);$$

$$g = 1/5\eta E(\sin^2 \delta - \sin^2 \gamma);$$

$$c = 1/5\eta E[\sin^3 \delta(\cos^2 \delta + 2/3) - \sin^3 \gamma(\cos^2 \gamma + 2/3)];$$

$$t = 1/5\eta E[25/8(\sin \delta - \sin \gamma) + 25/48(\sin 3\delta - \sin 3\gamma) + 1/16(\sin 5\delta - \sin 5\gamma)].$$

Выразим деформации через перемещения  $u$  [3]:

$$\varepsilon_r = \frac{du}{dr}; \quad \varepsilon_{\theta} = \varepsilon_{\varphi} = u/r$$

и подставим в (7):

$$(8) \quad \sigma_r = (w + g) \frac{du}{dr} + (v + c) \frac{u}{r};$$

$$\sigma_{\theta} + \sigma_{\varphi} = (v + c) \frac{du}{dr} + (2w + v + t) \frac{u}{r}.$$

Так как  $\lambda$  и  $\mu$  положительны, а  $\delta$  больше, чем  $\gamma$ , то  $w + g > 0$ . Уравнение равновесия в сферической системе координат имеет вид [3]

$$(9) \quad r \frac{d\sigma_r}{dr} + 2(\sigma_r - \sigma_{\theta}) = 0.$$

Однако удобней преобразовать его к виду

$$(10) \quad \frac{d\sigma_r}{dr} + \frac{2\sigma_r - (\sigma_\theta + \sigma_\varphi)}{r} = 0.$$

Так как  $\sigma_\theta = \sigma_\varphi$ , то из (10) всегда следует (9), но в (10) не входит угол  $\alpha$ . Подставим (8) в (10). После несложных преобразований получим

$$(11) \quad \frac{d^2u}{dr^2} + \frac{2}{r} \frac{du}{dr} - \frac{f_2}{r^2} u + \frac{1}{w+g} \left[ \frac{dg}{dr} \frac{du}{dr} + \left( \frac{1}{r} \frac{dc}{dr} + \frac{2g+c-t}{r^2} \right) u \right] = 0.$$

Краевые условия возьмем в таком виде:

$$(12) \quad \begin{aligned} r=a: \quad & u(a)=U; \\ r=b: \quad & \sigma_r(b)=0. \end{aligned}$$

Задачу (11), (12) будем решать численно, вводя итерации по  $u$ , так как уравнение (11) нелинейное. Аппроксимируем уравнение (11) разностной схемой со вторым порядком точности [4]:

$$(13) \quad \frac{u_{k+1}^{(i+1)} - 2u_k^{(i+1)} + u_{k-1}^{(i+1)}}{h^2} + \frac{2}{r_k} \frac{u_{k+1}^{(i+1)} - u_{k-1}^{(i+1)}}{2h} - \frac{2}{r_k^2} u_k^{(i+1)} + f_k^{(i)} = 0,$$

где  $f_k^{(i)} = \frac{1}{w+g_k^{(i)}} \left[ \frac{g_{k+1}^{(i)} - g_{k-1}^{(i)}}{2h} \cdot \frac{u_{k+1}^{(i)} - u_{k-1}^{(i)}}{2h} + \right. \right. \\ \left. \left. + \left( \frac{1}{r_k} \frac{c_{k+1}^{(i)} - c_{k-1}^{(i)}}{2h} + \frac{2g_k^{(i)} + c_k^{(i)} - t_k^{(i)}}{r_k^2} \right) u_k^{(i)} \right].$

Индекс внизу означает номер точки на радиусе шара ( $k=1, 2, \dots, n-1$ ), индекс вверху в скобках — номер шага по итерации, с которого берется значение функции.

Уравнение (13) перепишем в следующем виде:

$$\text{Здесь } A_h u_{k-1}^{(i+1)} - C_h u_k^{(i+1)} + B_h u_{k+1}^{(i+1)} = -F_h^{(i)}.$$

$$(14) \quad A_h = 1 - \frac{h}{r_k}; \quad B_h = 1 + \frac{h}{r_k}; \quad C_h = 2 \left( 1 + \frac{h^2}{r_k^2} \right); \quad F_h^{(i)} = h^2 f_k^{(i)}.$$

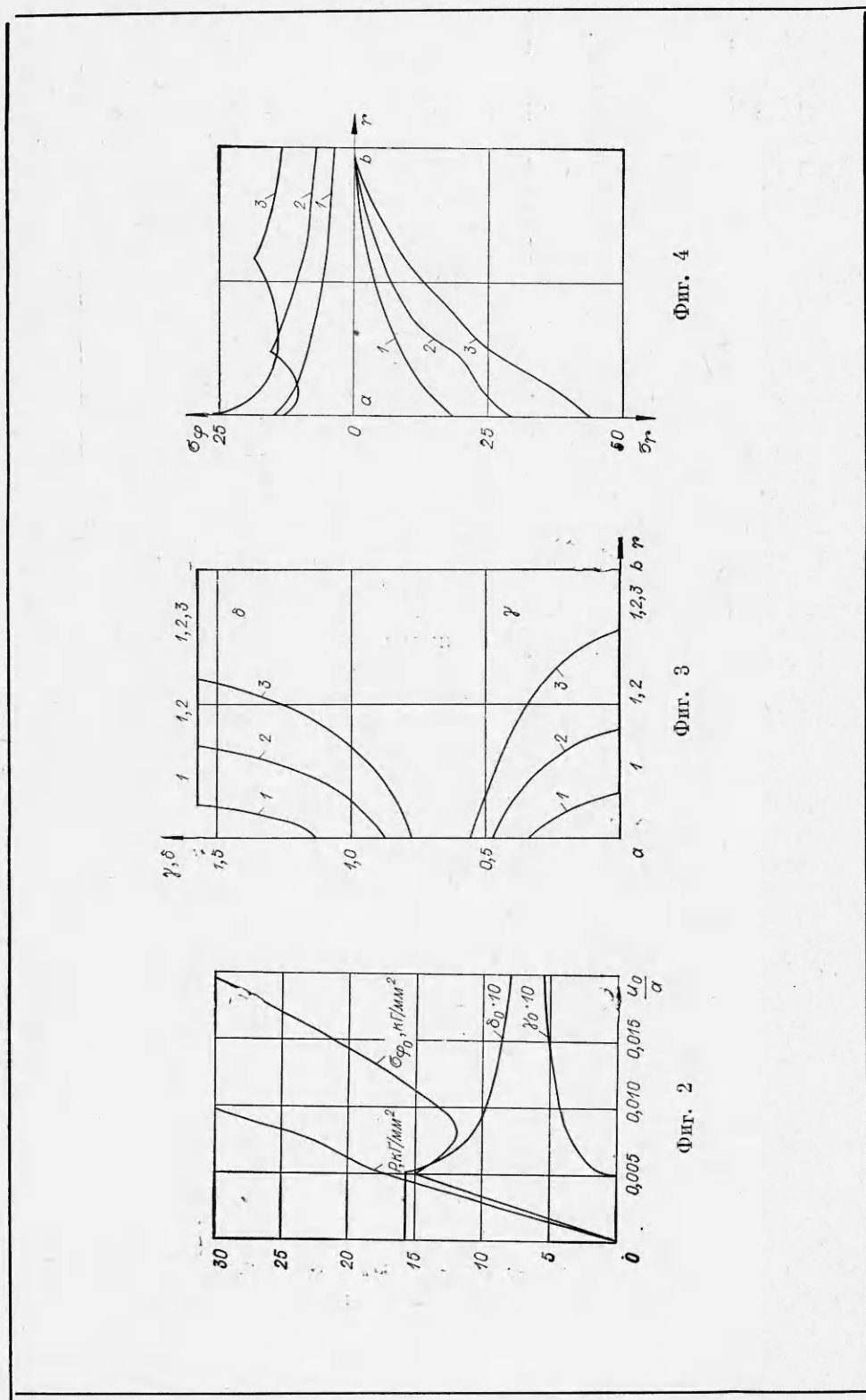
Приравнивая, согласно (12),  $\sigma_r(b)$  в формуле (8) нулю, получим

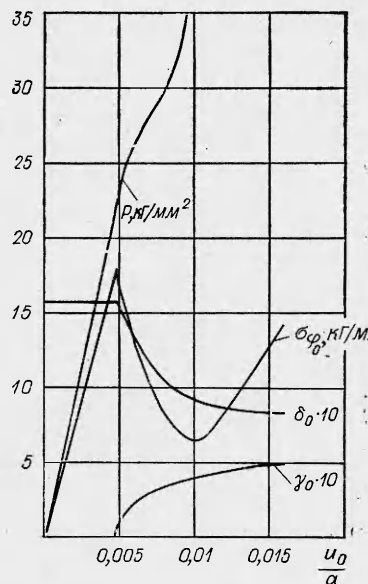
$$\left. \frac{du}{dr} \right|_{r=b} + \frac{v+c}{w+g} \frac{u(b)}{b} = 0.$$

Границные условия аппроксимируем разностной схемой со вторым порядком точности:

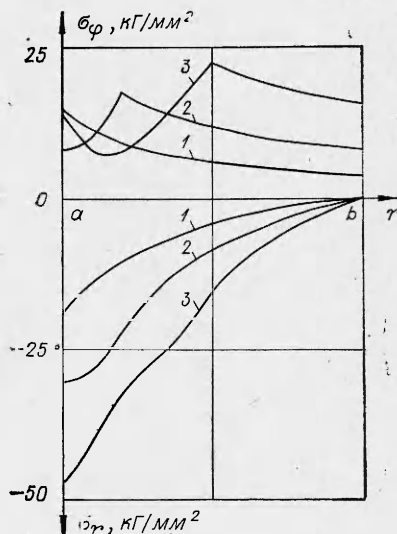
$$(15) \quad \frac{u_0 - U}{h} + \frac{u_{n-2}^{(i+1)} - 4u_{n-1}^{(i+1)} + 3u_n^{(i+1)}}{2h} + \kappa u_n^{(i+1)} = 0,$$

где  $\kappa = \frac{v + C_n^{(i)}}{b(w + g_n^{(i)})}.$





Фиг. 5



Фиг. 6

Будем искать решение методом левой прогонки [4]. Используя второе уравнение из (15), найдем прогоночные коэффициенты  $\xi_n^{(i+1)}$  и  $\eta_n^{(i+1)}$ :

$$\xi_n^{(i+1)} = \frac{4A_{n-1} - C_{n-1}}{(3 + 2h\kappa) A_{n-1} - B_{n-1}};$$

$$\eta_n^{(i+1)} = \frac{[4 - (3 + 2h\kappa) \xi_n^{(i+1)}] F_{n-1}^{(i)}}{(3 + 2h\kappa) C_{n-1} - 4B_{n-1}}.$$

Здесь  $A_{n-1}$ ,  $B_{n-1}$ ,  $C_{n-1}$  и  $F_{n-1}^{(i)}$  выражаются по формулам (14).

Из первого уравнения (12) определяем  $u_0$ . Затем находим остальные перемещения  $u_k^{(i+1)}$  ( $k = 1, 2, \dots, n$ ). Через  $u_k^{(i+1)}$  определяем  $\varepsilon_{r_k}$ ,  $\varepsilon_{\theta_k}$ ,  $\varepsilon_{\varphi_k}$ :

$$\varepsilon_{r_0} = \frac{-3u_0 + 4u_1^{(i+1)} - u_2^{(i+1)}}{2h};$$

$$\varepsilon_{r_n} = \frac{u_{n-2}^{(i+1)} - 4u_{n-1}^{(i+1)} + 3u_n^{(i+1)}}{2h};$$

$$\varepsilon_{r_k} = \frac{u_{k+1}^{(i+1)} - u_{k-1}^{(i+1)}}{2h} \quad (k = 1, \dots, n-1);$$

$$\varepsilon_{\theta_k} = \varepsilon_{\varphi_k} = \frac{u_k^{(i+1)}}{r_k} \quad (k = 0, 1, \dots, n).$$

Наконец, из формул (7) определяем  $\sigma_{r_k}$ ,  $\sigma_{\varphi_k}$  и  $\sigma_{\theta_k}$ . Так как уравнение (11) нелинейно, вводим итерации по  $u$ : определяем  $F_k^{(i+1)}$  через найденные  $u_k^{(i+1)}$  и повторяем прогонку, не изменяя  $u_0$ . Процесс счета начинается с упругого решения. Задача решалась на вычислительной машине М-222.

На фиг. 2—4 приведены результаты расчета армированного шара при следующих исходных данных:  $E=7000 \text{ кГ/мм}^2$ ;  $\lambda_c=300 \text{ кГ/мм}^2$ ;  $\mu_c=75 \text{ кГ/мм}^2$ ;  $\varepsilon_p=0,005$ ;  $\varepsilon_c=-0,01$ ;  $\eta=0,1$ .

На фиг. 2 показано изменение давления  $p = -\sigma_{r_0}$ , напряжения  $\sigma_{\varphi_0}$ , а также величины углов  $\gamma_0$ ,  $\delta_0$  на внутренней поверхности шара в зависимости от ее перемещения  $u_0$ .

На фиг. 3 показано изменение углов  $\gamma$  и  $\delta$  в зависимости от радиуса  $r$  и давления  $p$  (кривые 1, 2, 3 —  $p=22,2; 36,7; 55,3 \text{ кГ/мм}^2$  соответственно).

На фиг. 4 приведены графики, показывающие распределение напряжений в стенке сферического сосуда в зависимости от радиуса  $r$  и давления  $p$  (кривые 1, 2, 3 —  $u_0=0,005; 0,008; 0,018 \text{ м}$  соответственно).

На фиг. 5, 6 показано изменение давления  $p = -\sigma_{r_0}$ , напряжения  $\sigma_{\varphi_0}$ , величины углов  $\gamma_0$ ,  $\delta_0$  (фиг. 5) и распределение напряжений в стенке полого шара (фиг. 6) при следующих характеристиках композитного материала:  $E=7000 \text{ кГ/мм}^2$ ;  $\lambda_c=300 \text{ кГ/мм}^2$ ;  $\mu_c=75 \text{ кГ/мм}^2$ ;  $\varepsilon_p=0,005$ ;  $\varepsilon_c=-0,01$ ;  $\eta=0,2$  (кривые 1, 2, 3 —  $u_0=0,004; 0,008; 0,015 \text{ м}$ ).

*Поступила 19 VI 1974*

#### ЛИТЕРАТУРА

1. Богачев И. Н., Вайнштейн А. А., Волков С. Д. Введение в статистическое металловедение. М., «Металлургия», 1972.
2. Annin B. D. The constitutive equations and some problems of random fiber composite body. 15-th Polish Solid Mechanics Conference. Abstracts Zakopane, 1973, p. 6—7.
3. Ильюшин А. А., Ленский В. С. Сопротивление материалов. М., Физматгиз, 1959.
4. Самарский А. А. Введение в теорию разностных схем. М., «Наука», 1971.